

Épreuve 2023 Physique (concours ENAC EPL/S)

Consignes

La durée de l'épreuve est de 2h. La calculatrice est interdite. Le jour de l'épreuve, les réponses sont reportées sur un formulaire où le candidat noircit les cases «A», «B», «C», «D» ou «E». Il est demandé d'utiliser un stylo bille ou une pointe feutre de couleur noire.

Le candidat doit choisir au plus 24 questions parmi les 36 proposées.

Les questions comportent zéro, une ou deux réponses correctes. Dans le cas où le candidat juge qu'aucune des propositions n'est juste, il noircira la case «E» sur le formulaire de réponses.

En cas de réponse fautive, aucune pénalité n'est appliquée.

Avertissements

Dans certaines questions, les candidats doivent choisir entre plusieurs valeurs numériques. Nous attirons leur attention sur les points suivants :

- 1 - Les résultats sont arrondis en respectant les règles habituelles ; il est prudent d'éviter des arrondis trop imprécis sur les résultats intermédiaires.
- 2 - Les valeurs fausses proposées diffèrent suffisamment de la valeur exacte pour que d'éventuels écarts d'arrondi n'entraînent aucune ambiguïté sur la réponse.

Les notations utilisées sont celles en vigueur au niveau international. Ainsi, conformément à ces recommandations internationales, les vecteurs sont représentés en caractères gras et le produit vectoriel est symbolisé par \times . Les unités utilisées sont, sauf mention contraire explicite, celles du Système International (SI).

QUESTIONS LIEES

Cinématique de la valve d'une roue de vélo : [1, 2, 3, 4, 5, 6]

Réglage d'un appareil photographique : [7, 8, 9, 10, 11, 12]

Décharge d'un condensateur dans un autre condensateur : [13, 14, 15, 16, 17, 18]

Transformations thermodynamiques du diazote : [19, 20, 21, 22, 23, 24]

Glissement d'un corpuscule sur un hémisphère : [25, 26, 27, 28, 29, 30]

Electron accéléré et champ magnétostatique : [31, 32, 33, 34, 35, 36]

Cinématique de la valve d'une roue de vélo

On s'intéresse à la trajectoire et aux grandeurs cinématiques (vitesse, accélération) de la valve d'une roue (centre C , rayon R) de vélo dans le référentiel du laboratoire \mathcal{R} . Cette valve est assimilée à un point M (Fig. 1). Le mouvement de M est analysé dans \mathcal{R} ; on suppose qu'il s'effectue dans le plan Oxy , où O est l'origine du repère cartésien dont la base est $\{\mathbf{e}_x, \mathbf{e}_y\}$, \mathbf{e}_x et \mathbf{e}_y étant des vecteurs unitaires; x et y désignent les coordonnées cartésiennes de M .

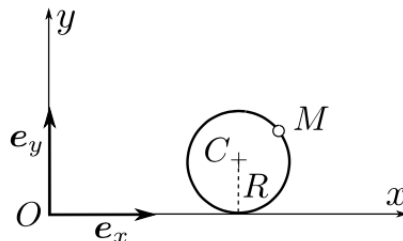


Fig. 1 - Roue de vélo

Le vecteur position de M est donnée par :

$$\mathbf{OM} = R[\omega t - \sin(\omega t)]\mathbf{e}_x + R[1 - \cos(\omega t)]\mathbf{e}_y, \quad \text{où } \omega \text{ est une constante, } t \text{ désignant le temps}$$

Question 1 :

Quelle est l'expression du vecteur vitesse \mathbf{v} de M dans \mathcal{R} ?

- A - $\mathbf{v} = R\omega[1 - \cos(\omega t)]\mathbf{e}_x + R\omega \sin(\omega t)\mathbf{e}_y$
- B - $\mathbf{v} = R[1 - \cos(\omega t)]\mathbf{e}_x + R \sin(\omega t)\mathbf{e}_y$
- C - $\mathbf{v} = R\omega[1 + \cos(\omega t)]\mathbf{e}_x - R\omega \sin(\omega t)\mathbf{e}_y$
- D - $\mathbf{v} = R\omega \cos(\omega t)\mathbf{e}_x + R\omega[\omega t - \sin(\omega t)]\mathbf{e}_y$

Question 2 :

Déduire la norme $v = \|\mathbf{v}\|$ du vecteur vitesse.

- A - $v = \sqrt{2}R\omega \cos(\omega t)$
- B - $v = \sqrt{2}R\omega[1 - \cos(\omega t)]^{1/2}$
- C - $v = 2R\omega \cos(\omega t)$
- D - $v = R\omega[1 - \cos(\omega t)]^{1/2}$

Question 3 :

Quelle est l'expression du vecteur accélération \mathbf{a} de M dans \mathcal{R} ?

- A - $\mathbf{a} = R\omega^2 \cos(\omega t)\mathbf{e}_x + R\omega^2 \sin(\omega t)\mathbf{e}_y$
- B - $\mathbf{a} = R\omega \cos(\omega t)\mathbf{e}_x + R\omega \sin(\omega t)\mathbf{e}_y$
- C - $\mathbf{a} = R\omega \sin(\omega t)\mathbf{e}_x + R\omega \cos(\omega t)\mathbf{e}_y$
- D - $\mathbf{a} = R\omega^2 \sin(\omega t)\mathbf{e}_x + R\omega^2 \cos(\omega t)\mathbf{e}_y$

Question 4 :

Parmi les propositions suivantes, lesquelles sont exactes ?

- A - La vitesse de M ne s'annule jamais.
- B - L'accélération de M ne s'annule jamais.
- C - Les composantes a_y et v_x s'annulent aux mêmes instants.
- D - La vitesse de M s'annule aux instants $t = n\frac{2\pi}{\omega}$, où n est un entier naturel.

Question 5 :

Quelle est la distance parcourue par le centre C de la roue lorsque $t = \frac{2\pi}{\omega}$?

- A - πR
- B - $2\pi R$
- C - $2R$
- D - R

Question 6 :

On appelle rayon de courbure, $\rho(t)$, à la trajectoire en un point M à l'instant t , le rayon d'un cercle tangent particulier appelé cercle osculateur. Ce cercle unique "épouse au mieux la courbe en M " (aucune connaissance sur cette notion n'est nécessaire pour répondre à la question). On admet que l'expression du rayon de courbure est, ici :

$$\rho(t) = \left| \frac{(\dot{x}^2 + \dot{y}^2)^{3/2}}{\dot{x}\ddot{y} - \dot{y}\ddot{x}} \right|.$$

L'espace étant orienté, cette grandeur est algébrique et peut donc prendre des valeurs positives ou négatives. Donner l'expression de $\rho(t)$ pour le mouvement de M .

- A - $\rho(t) = 0$
- B - $\rho(t) = R$
- C - $\rho(t) = 2R \cos(\omega t)$
- D - $\rho(t) = 2\sqrt{2}R[1 - \cos(\omega t)]^{1/2}$

Réglage d'un appareil photographique

Dans une version simplifiée, un appareil photographique est modélisé par une lentille mince convergente \mathcal{L} , de vergence $V = 10 \delta$, à la distance de laquelle se trouve un écran (l'élément photosensible). Les distances sont algébriques, le sens positif étant celui de la lumière incidente. Dans tout l'exercice, on admet que les conditions de Gauss sont satisfaites.

Question 7 :

À quelle distance de la lentille doit se trouver l'écran si on veut photographier des objets très éloignés ?

- A - 10 cm
- B - 1 cm
- C - 1 mm
- D - On ne peut rien dire *a priori*

Question 8 :

Après avoir effectué la mise au point à l'infini, on souhaite photographier un objet A_o , supposé ponctuel, situé sur l'axe optique à 4,10 m de la lentille. Dans quel sens, et de quelle distance, faut-il déplacer l'écran afin de réaliser la mise au point ?

- A - Il faut déplacer l'écran de 2,5 mm en le rapprochant de l'objectif.
- B - Il faut déplacer l'écran de 2,5 mm en l'éloignant de l'objectif.
- C - Il faut ne pas déplacer l'écran.
- D - Il faut déplacer l'écran de 4 mm en l'éloignant de l'objectif.

Question 9 :

La construction de l'appareil impose une distance maximale entre la lentille et l'écran de 10,5 cm. À quelle distance minimale d_m de la lentille doit se trouver A_o pour que celle-ci en donne une image nette A_i sur l'écran ?

- A - $d_m = 1$ m
- B - $d_m = 10$ cm
- C - $d_m = 2,1$ m
- D - $d_m = 21$ cm

Question 10 :

Pour caractériser la profondeur de champ de cet appareil, on tolère que l'image sur l'écran ne soit pas ponctuelle, mais forme une tache de diamètre D_t (Fig. 2). La tolérance recherchée ici s'obtient en considérant les objets A_o et A'_o , situés sur l'axe optique, dont les images conjuguées, respectivement A_i et A'_i , fixent la valeur de D_t (Fig. 2). Sur cette figure, et parmi les propositions ci-dessous, D_o désigne le diamètre de la lentille et e la distance maximale à laquelle on peut éloigner l'écran au-delà du foyer image de la lentille.

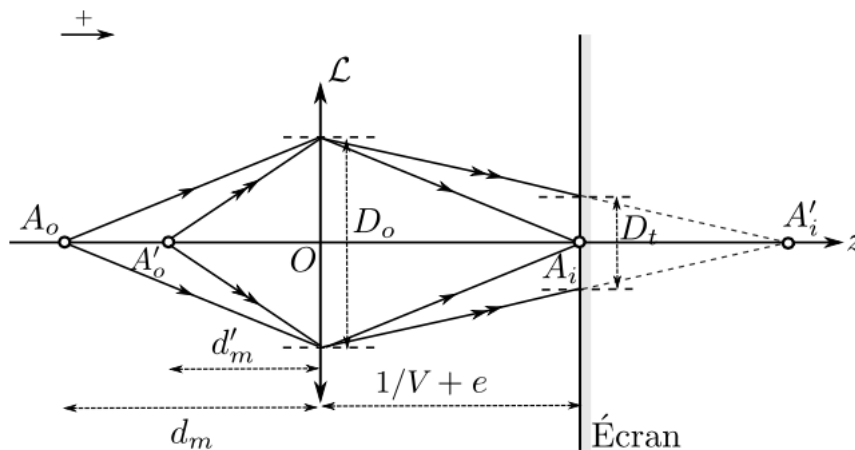


Fig. 2 - Modélisation d'un appareil photographique.

Quelle est, en fonction de D_o , D_t , V et e l'expression de la distance $\overline{A_i A'_i}$?

- A** - $\overline{A_i A'_i} = D_t \frac{(1/V + e)}{D_o - D_t}$ **C** - $\overline{A_i A'_i} = -D_t \frac{1/V + e}{D_o - D_t}$
B - $\overline{A_i A'_i} = D_t \frac{1/V - e}{D_o - D_t}$ **D** - $\overline{A_i A'_i} = D_t \frac{1/V - e}{D_o + D_t}$

Question 11 :

En déduire l'expression de d'_m .

- A** - $d'_m = \frac{D_o(e + 1/V)}{D_t + D_o V e}$ **C** - $d'_m = \frac{D_t(e + 1/V)}{D_t + D_o V e}$
B - $d'_m = \frac{D_o(e + 1/V)}{D_t - D_o V e}$ **D** - $d'_m = \frac{D_t(e + 1/V)}{D_o + D_t V e}$

Question 12 :

Comment varie d'_m si on modifie D_o ?

- A** - d'_m diminue si D_o diminue.
B - d'_m diminue si D_o augmente.
C - d'_m augmente si D_o diminue.
D - On ne peut rien dire *a priori*.

Décharge d'un condensateur dans un autre condensateur

On considère le montage de la figure 3 dans lequel un générateur est une source idéale de tension E constante, avec $R = 1 \text{ k}\Omega$ et $C_0 = 10 \text{ nF}$. Initialement, les circuits sont ouverts (interrupteur K en position milieu) et les condensateurs sont déchargés. À l'instant initial, on ferme K en position 1. Dans tout l'exercice t désigne le temps.

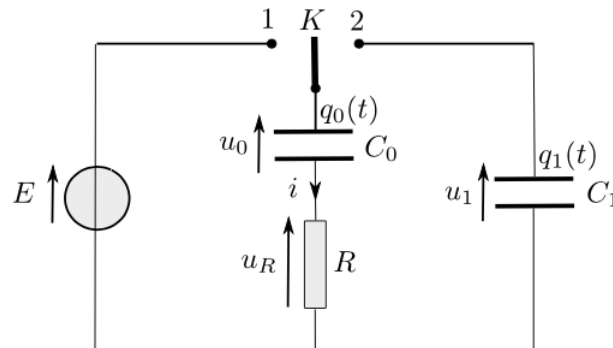


Fig. 3 - Montage à deux condensateurs

Question 13 :

Quelle est l'équation différentielle décrivant l'évolution de la charge $q_0(t)$ portée par l'armature de C_0 en contact avec K (cf. figure 3)? Donner la solution de cette équation.

- A** - $\frac{dq_0}{dt} - \frac{q_0}{RC_0} = -\frac{E}{R}$
B - $\frac{dq_0}{dt} + \frac{q_0}{RC_0} = \frac{E}{R}$
C - $q_0(t) = C_0 E \left[\exp\left(-\frac{t}{RC_0}\right) - 1 \right]$
D - $q_0(t) = C_0 E \left[1 - \exp\left(-\frac{t}{RC_0}\right) \right]$

Question 14 :

Le régime établi (dit aussi permanent) étant atteint, on bascule K en position 2 à un nouvel instant pris comme nouvelle origine temporelle. Quelle est l'équation différentielle vérifiée par q_0 ?

- A** - $\frac{dq_0}{dt} - \frac{q_0}{\tau} = \frac{C_0 E}{C_1 R}$ avec $\tau = R \frac{C_0 C_1}{C_0 + C_1}$
B - $\frac{dq_0}{dt} + \frac{q_0}{\tau} = \frac{C_0 E}{C_1 R}$ avec $\tau = RC_1$
C - $\frac{dq_0}{dt} + \frac{q_0}{\tau} = 0$ avec $\tau = R \frac{C_0 C_1}{C_0 + C_1}$
D - $\frac{dq_0}{dt} + \frac{q_0}{\tau} = \frac{C_0 E}{C_1 R}$ avec $\tau = R \frac{C_0 C_1}{C_0 + C_1}$

Question 15 :

Quelle est alors, pour $t > 0$, l'expression de $q_0(t)$?

- A** - $q_0(t) = E \frac{C_0}{C_0 + C_1} \left[\exp\left(-\frac{t}{\tau}\right) - 1 \right]$ avec $\tau = R \frac{C_0 C_1}{C_0 + C_1}$
- B** - $q_0(t) = E \frac{C_0}{C_0 + C_1} \left[C_1 \exp\left(-\frac{t}{\tau}\right) + C_0 \right]$ avec $\tau = RC_0$
- C** - $q_0(t) = E \frac{C_0}{C_0 + C_1} \left[C_1 \exp\left(-\frac{t}{\tau}\right) + C_0 \right]$ avec $\tau = R \frac{C_0 C_1}{C_0 + C_1}$
- D** - $q_0(t) = C_0 E \left[1 - \exp\left(-\frac{t}{\tau}\right) \right]$ avec $\tau = R \frac{C_0 C_1}{C_0 + C_1}$

Question 16 :

Exprimer la charge $q_1(t)$ portée par l'armature de C_1 .

- A** - $q_1(t) = E \frac{C_0 C_1}{C_0 + C_1} \left[1 - \exp\left(-\frac{t}{\tau}\right) \right]$ avec $\tau = R \frac{C_0 C_1}{C_0 + C_1}$
- B** - $q_1(t) = E \frac{C_0 C_1}{C_0 + C_1} \left[1 - \exp\left(-\frac{t}{\tau}\right) \right]$ avec $\tau = RC_1$
- C** - $q_1(t) = E \frac{C_0 C_1}{C_0 + C_1} \left[1 + \exp\left(-\frac{t}{\tau}\right) \right]$ avec $\tau = R \frac{C_0 C_1}{C_0 + C_1}$
- D** - $q_1(t) = C_1 E \left[\exp\left(-\frac{t}{\tau}\right) - 1 \right]$ avec $\tau = R \frac{C_0 C_1}{C_0 + C_1}$

Question 17 :

Déterminer, au bout d'une durée suffisamment longue ($t \gg t_b$), le rapport $r_{\mathcal{E}} = \frac{\mathcal{E}_1}{\mathcal{E}_0}$ entre l'énergie emmagasinée \mathcal{E}_1 , par le condensateur C_1 et l'énergie \mathcal{E}_0 qu'avait emmagasiné le condensateur C_0 juste avant le basculement de K en position 2.

- A** - $r_{\mathcal{E}} = \frac{C_0 C_1}{2(C_0 + C_1)^2}$
- B** - $r_{\mathcal{E}} = \frac{C_0 C_1}{(C_0 + C_1)^2}$
- C** - $r_{\mathcal{E}} = \frac{2C_0 C_1}{(C_0 + C_1)^2}$
- D** - $r_{\mathcal{E}} = \frac{C_0}{C_0 + C_1}$

Question 18 :

Le condensateur C_1 est en fait le condensateur équivalent à n condensateurs de même capacité C_0 placés en parallèle. Que devient alors le rapport précédent ?

- A** - $r_{\mathcal{E}} = \frac{n}{2(1+n)^2}$
- B** - $r_{\mathcal{E}} = \frac{n}{(1+n)^2}$
- C** - $r_{\mathcal{E}} = 1$
- D** - $r_{\mathcal{E}} = 0$

Transformations thermodynamiques du diazote

Une quantité de n moles de diazote, gaz supposé parfait, subit successivement les transformations thermodynamiques suivantes :

- T1 : une transformation adiabatique réversible de l'état initial E_i (température T_i , pression p_i) à l'état E' (température T' , pression $p_i(1 + \epsilon)$);
- T2 : une transformation isobare de l'état E' à l'état final E_f (température $T_f = T_i$, pression p_f).

On note :

- V_i , V' et V_f les volumes occupés par le gaz dans les états E_i , E' et E_f , respectivement ;
- γ le rapport $\frac{C_p}{C_v}$ des capacités thermiques du gaz à pression constante (C_p) et volume constant (C_v);
- $R \approx 8 \text{ J} \cdot \text{K}^{-1} \cdot \text{mol}^{-1}$ la constante des gaz parfaits.

Question 19 :

Quelles sont, en fonction de V_i , ϵ , et γ , les expressions de V' et de V_f ?

- A** - $V' = V_i(1 + \epsilon)^{-1/\gamma}$
- B** - $V' = V_i(1 + \epsilon)^{1/\gamma}$
- C** - $V_f = V_i(1 + \epsilon)$
- D** - $V_f = \frac{V_i}{1 + \epsilon}$

Question 20 :

Donner l'expression de T' en fonction de T_i , ϵ , et γ .

- A** - $T' = T_i(1 + \epsilon)^{-1/\gamma}$
- B** - $T' = T_i(1 + \epsilon)^{1-1/\gamma}$
- C** - $T' = T_i(1 + \epsilon)^{1/\gamma-1}$
- D** - $T' = T_i(1 + \epsilon)^{\gamma-1}$

Question 21 :

Déterminer le travail (algébrique) $W_{E_i E'}$ reçu par le gaz au cours de la transformation T1.

- A** - $W_{E_i E'} = \frac{p_i V_i}{1 - \gamma} \left[(1 + \epsilon)^{1-1/\gamma} - 1 \right]$
- B** - $W_{E_i E'} = \frac{p_i V_i}{\gamma - 1} \left[(1 + \epsilon)^{1/\gamma-1} - 1 \right]$
- C** - $W_{E_i E'} = \frac{p_i V_i}{\gamma - 1} \left[(1 + \epsilon)^{1-1/\gamma} - 1 \right]$
- D** - $W_{E_i E'} = p_i V_i \frac{(1 + \epsilon)^{1-1/\gamma}}{\gamma - 1}$

Question 22 :

Déterminer le travail (algébrique) $W_{E' E_f}$ reçu par le gaz au cours de la transformation T2.

- A** - $W_{E' E_f} = -p_i V_i \left[1 + (1 + \epsilon)^{1-1/\gamma} \right]$
- B** - $W_{E' E_f} = p_i V_i \left[1 - (1 + \epsilon)^{1-1/\gamma} \right]$
- C** - $W_{E' E_f} = -p_i V_i \left[1 - (1 + \epsilon)^{1-1/\gamma} \right]$
- D** - $W_{E' E_f} = p_f V_f (1 + \epsilon)^{1-1/\gamma}$

Question 23 :

Après avoir donné l'expression du bilan d'énergie interne ΔU entre les états E_i et E_f , déterminer la chaleur, ou transfert thermique (algébrique), Q , reçue par le gaz au cours de la série de transformations qui l'amène de E_i à E_f .

A - $\Delta U = 0$

B - $\Delta U = p_i V_i \frac{\gamma}{\gamma - 1} \left[(1 + \epsilon)^{1-1/\gamma} - 1 \right]$

C - $Q = -p_i V_i \frac{\gamma}{\gamma - 1} \left[(1 + \epsilon)^{1-1/\gamma} - 1 \right]$

D - $Q = p_i V_i \frac{\gamma}{\gamma - 1} \left[(1 + \epsilon)^{1/\gamma-1} - 1 \right]$

Question 24 :

Que deviennent les expressions du travail total $W = W_{E_i E'} + W_{E' E_f}$ et de Q si $\epsilon \ll 1$?

A - $W = 0$

B - $W \approx p_i V_i \epsilon$

C - $Q = 0$

D - $Q \approx -p_i V_i \epsilon$

Glissade d'un corpuscule sur un hémisphère

Un corpuscule matériel A (masse m) glisse, sans frottement, sous l'action de son poids sur la surface d'un hémisphère de rayon r . On suppose que le mouvement de A s'effectue dans un plan vertical (Fig. 4). Le référentiel terrestre, lié à l'hémisphère dans lequel on étudie le mouvement de A est supposé galiléen. Ce dernier est doté d'un repère cartésien d'origine O et de base $\mathcal{B} = \{\mathbf{e}_x, \mathbf{e}_y\}$, \mathbf{e}_x et \mathbf{e}_y étant deux vecteurs unitaires portés par des axes Ox et Oy , x et y désignant les coordonnées cartésiennes de A . La position de A est définie par l'angle polaire $\varphi(t)$; la base polaire $\{\mathbf{e}_\rho, \mathbf{e}_\varphi\}$ est représentée sur le schéma.

À l'instant initial, A est situé au sommet S de l'hémisphère et possède un vecteur vitesse \mathbf{v}_0 tangent à l'hémisphère.

Dans tout l'exercice, on note \mathbf{g} le champ de pesanteur; $g \approx 10 \text{ m.s}^{-2}$ est sa norme.

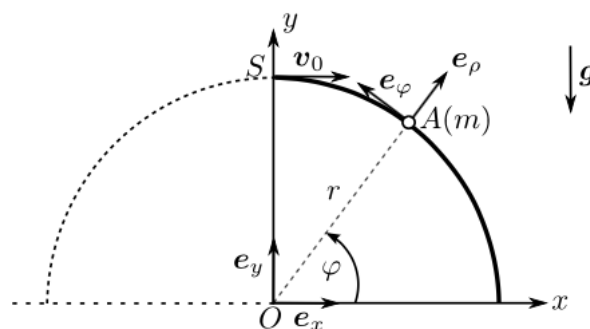


Fig. 4 - Glissade d'un objet assimilé à un corpuscule matériel A

Question 25 :

Quelles sont les équations du mouvement de A ? Dans les expressions ci-dessous, R_n désigne la composante normale de la force de réaction du support hémisphérique.

A -
$$\begin{cases} -mr\dot{\varphi}^2 = -mg \sin \varphi + R_n \\ r\ddot{\varphi} = -g \cos \varphi \end{cases}$$

B -
$$\begin{cases} -mr\dot{\varphi}^2 = -mg \cos \varphi + R_n \\ r\ddot{\varphi} = g \sin \varphi \end{cases}$$

C -
$$\begin{cases} r\dot{\varphi}^2 = g \sin \varphi \\ r\ddot{\varphi} = g \cos \varphi \end{cases}$$

D -
$$\begin{cases} mr\dot{\varphi}^2 = -mg \cos \varphi + R_n \\ r\ddot{\varphi} = g \sin \varphi \end{cases}$$

Question 26 :

Quelles sont l'énergie cinétique \mathcal{E}_k et l'énergie potentielle \mathcal{E}_p de A ?

A - $\mathcal{E}_k = mr\dot{\varphi}^2/2$

B - $\mathcal{E}_k = m(r\dot{\varphi})^2/2$

C - $\mathcal{E}_p = mgr \sin \varphi$

D - $\mathcal{E}_p = mgr(1 - \cos \varphi)$

Question 27 :

Donner l'expression de la vitesse v de A en fonction de sa position. Dans les propositions ci-dessous, v_0 est la norme du vecteur vitesse initial ($v_0 = \|\mathbf{v}_0\|$).

A - $v = [2gr(1 + \sin \varphi) + v_0^2]^{1/2}$

B - $v = [2gr(1 - \sin \varphi) + v_0^2]^{1/2}$

C - $v = [2gr(1 - \sin \varphi)]^{1/2}$

D - $v = [2gr(1 - \sin \varphi) - v_0^2]^{1/2}$

Question 28 :

Déduire de ce qui précède l'expression de la composante normale R_n de la force de réaction.

A - $R_n = m \left[g(3 \sin \varphi - 2) - \frac{v_0^2}{r} \right]$

B - $R_n = m \left[g(3 \sin \varphi - 2) + \frac{v_0^2}{r} \right]$

C - $R_n = m \left[g(\sin \varphi - 1) - \frac{v_0^2}{r} \right]$

D - $R_n = 0$

Question 29 :

Quel est le sinus de l'angle φ pour lequel A quitte la piste hémisphérique si $v_0 = 0$? Dans la suite de l'exercice, on prendra $v_0 = 0$.

A - $\sin \varphi = 1/2$

B - $\sin \varphi = 1/3$

C - $\sin \varphi = 2/3$

D - $\sin \varphi = 1/\sqrt{2}$

Question 30 :

Une fois le contact rompu, A évolue alors sans frottement dans le champ de pesanteur uniforme. Parmi les affirmations ci-dessous, identifier celles qui sont exactes.

A - La trajectoire de A est rectiligne.

B - La vitesse de A selon l'axe Ox est nulle.

C - L'accélération de A possède deux composantes cartésiennes non nulles.

D - La vitesse de A lorsqu'il touche le sol est $\sqrt{2gr}$.

Électron accéléré et champ magnétostatique

Dans un canon de microscope électronique, un électron A (masse m_e , charge électrique $-e$) est émis, avec une vitesse initiale négligeable, le long d'un axe Ox , par une plaque métallique \mathcal{P}_1 portée à un potentiel nul. Cet électron est accéléré, dans le vide, grâce à une grille métallique \mathcal{P}_2 portée à un potentiel constant $V_a = 100$ V (Fig. 5). Les plaques \mathcal{P}_1 et \mathcal{P}_2 sont habituellement appelées cathode et anode, respectivement.

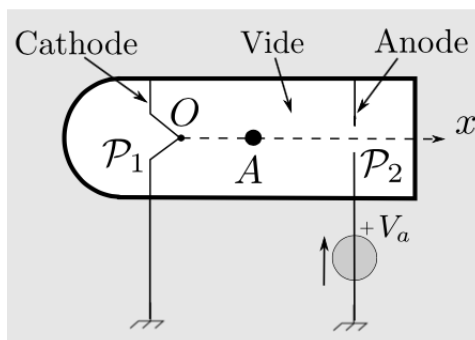


Fig. 5 - Canon d'un microscope électronique

Question 31 :

Quelle est la vitesse v de A lorsqu'il atteint l'anode ?

- A - $v = \left(\frac{eV_a}{m_e}\right)^{1/2}$
- B - $v = \left(\frac{2eV_a}{m_e}\right)^{1/2}$
- C - $v = \left(\frac{2m_eV_a}{e}\right)^{1/2}$
- D - $v = \frac{2eV_a}{m_e}$

Question 32 :

Calculer v . On indique les valeurs approximatives des constantes fondamentales suivantes : $m_e \approx 9 \times 10^{-31}$ kg et $e \approx 1,6 \times 10^{-19}$ C (charge élémentaire).

- A - $v \approx 6 \times 10^2$ m·s⁻¹
- B - $v \approx 6 \times 10^4$ m·s⁻¹
- C - $v \approx 6 \times 10^6$ m·s⁻¹
- D - $v \approx 6 \times 10^8$ m·s⁻¹

Question 33 :

Quelle est la longueur d'onde de De Broglie, λ_{DB} , d'un électron de vitesse v ? Parmi les expressions proposées, $h \approx 6,63 \times 10^{-34}$ J·s désigne la constante de Planck.

- A - $\lambda_{DB} = \frac{h}{(2em_eV_a)^{1/2}}$
- B - $\lambda_{DB} = \frac{h}{(2eV_a)^{1/2}}$
- C - $\lambda_{DB} \approx 100$ pm
- D - $\lambda_{DB} \approx 100$ nm

Question 34 :

Une fois la vitesse v acquise, on s'arrange à la sortie (non représentée sur la figure) du canon pour que l'électron pénètre dans une région où règne seulement un champ magnétique \mathbf{B} , stationnaire et uniforme, dont la direction est perpendiculaire à la direction de la vitesse incidente de l'électron. Que dire quant à la trajectoire de l'électron dans cette région ?

- A - L'électron n'est pas dévié et suit donc une trajectoire rectiligne.
- B - La trajectoire de l'électron est une parabole.
- C - La trajectoire de l'électron est circulaire de rayon proportionnel à B .
- D - La trajectoire de l'électron est circulaire de rayon proportionnel à $V_a^{1/2}/B$.

Question 35 :

Lorsque l'électron quitte la région où règne le champ magnétique, que peut-on dire de son vecteur vitesse \mathbf{v}_s et de sa trajectoire (on négligera l'influence du poids) ?

- A - Le vecteur \mathbf{v}_s possède une norme égale à $6 \times 10^6 \text{ m}\cdot\text{s}^{-1}$.
- B - Le vecteur \mathbf{v}_s a la même direction que lorsque l'électron est rentré dans la région du champ magnétique.
- C - La trajectoire de l'électron est toujours circulaire.
- D - La trajectoire de l'électron est rectiligne.

Question 36 :

On s'intéresse à l'angle θ_m , dit de déflexion magnétique, que forme la direction de \mathbf{v}_s avec l'axe Ox lorsque A sort de la région du champ magnétique. Cet angle est :

$$\theta_m = \left(\frac{e}{2m_e V_a} \right)^{1/2} BL^\alpha$$

où α est un nombre réel et L une longueur ; précisément, L est la longueur de la trajectoire de l'électron dans la région du champ magnétique. À l'aide d'une analyse dimensionnelle, déterminer α .

- A - $\alpha = -1$
- B - $\alpha = 0$
- C - $\alpha = 1$
- D - $\alpha = 2$